



## DEMANDE INTERNATIONALE PUBLIÉE EN VERTU DU TRAITE DE COOPERATION EN MATIÈRE DE BREVETS (PCT)

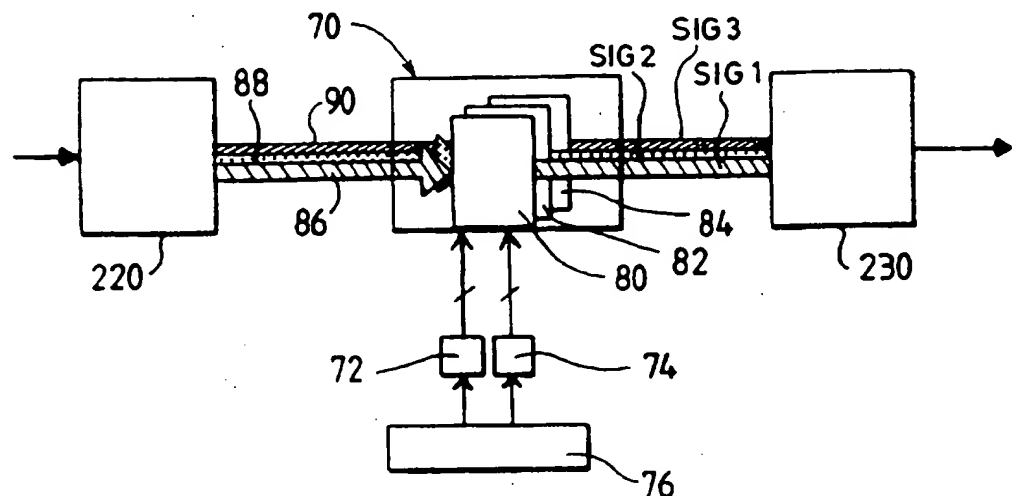
(51) Classification internationale des brevets <sup>6</sup> : <b>G09G 3/20</b>	<b>A1</b>	(11) Numéro de publication internationale: <b>WO 97/23861</b>
		(43) Date de publication internationale: 3 juillet 1997 (03.07.97)
<p>(21) Numéro de la demande internationale: PCT/FR96/02013</p> <p>(22) Date de dépôt international: 18 décembre 1996 (18.12.96)</p> <p>(30) Données relatives à la priorité: 95/15405 22 décembre 1995 (22.12.95) FR</p> <p>(71) Déposant (pour tous les Etats désignés sauf US): THOMSON MULTIMEDIA [FR/FR]; 9, place des Vosges, F-92050 Paris-La Défense 5 (FR).</p> <p>(72) Inventeurs; et</p> <p>(75) Inventeurs/Déposants (US seulement): BOREL, Thierry [FR/FR]; Thomson Multimédia, F-92050 Paris-La Défense Cédex (FR). GARNIER, Stéphane [FR/FR]; Thomson Multimédia, F-92050 Paris-La Défense Cédex (FR). DUPONT, Antoine [FR/FR]; Thomson Multimédia, F-92050 Paris-La Défense Cédex (FR). LE LUDEC, Benoît [FR/FR]; Thomson Multimédia, F-92050 Paris-La Défense Cédex (FR). LEHUREAU, Jean-Claude [FR/FR]; Thomson Multimédia, F-92050 Paris-La Défense Cédex (FR).</p> <p>(74) Mandataire: RUELLAN-LEMONNIER, Brigitte; Thomson Multimédia, F-92050 Paris-La Défense Cédex (FR).</p>		<p>(81) Etats désignés: JP, KR, US, brevet européen (AT, BE, CH, DE, DK, ES, FI, FR, GB, GR, IE, IT, LU, MC, NL, PT, SE).</p> <p>Publiée Avec rapport de recherche internationale.</p>

(54) Title: MATRIX DISPLAY ADDRESSING DEVICE

(54) Titre: DISPOSITIF D'ADRESSAGE D'UN ECRAN MATRICIEL

## (57) Abstract

A device for addressing a matrix display such as an LCD or plasma display. The addressing device comprises a storage stage (70, 198) for receiving, via a demultiplexing stage (220), a plurality of digital data sequences representing previously digitised video luminance signals, and outputting the video luminance signals to a multiplexing stage (230) designed to select a digital data sequence that corresponds to a given combination of subpixels from the plurality of digital data sequences previously stored in said storage stage (70, 198).



## (57) Abrégé

La présente invention concerne un dispositif d'adressage d'un écran matriciel tel qu'un écran du type LCD ou à plasma. Le dispositif d'adressage selon l'invention comporte un étage mémorisation (70, 198) recevant, via un étage de démultiplexage (220), une pluralité de séquences de données numériques représentant les signaux vidéo de luminance préalablement numérisés, et délivrant lesdits signaux vidéo de luminance à un étage de multiplexage (230) destiné à sélectionner une séquence de données numériques correspondant à une combinaison donnée de sous-pixels parmi la pluralité de séquences de données numériques préalablement stockées dans ledit étage de mémorisation (70, 198).

### UNIQUEMENT A TITRE D'INFORMATION

Codes utilisés pour identifier les Etats parties au PCT, sur les pages de couverture des brochures publiant des demandes internationales en vertu du PCT.

AT	Arménie	GB	Royaume-Uni	MW	Malawi
AT	Autriche	GE	Géorgie	MX	Mexique
AU	Australie	GN	Guinée	NE	Niger
BB	Barbade	GR	Grèce	NL	Pays-Bas
BE	Belgique	HU	Hongrie	NO	Norvège
BF	Burkina Faso	IE	Irlande	NZ	Nouvelle-Zélande
BG	Bulgarie	IT	Italie	PL	Pologne
BJ	Bénin	JP	Japon	PT	Portugal
BR	Bésil	KE	Kenya	RO	Roumanie
BY	Biélarus	KG	Kirghizistan	RU	Fédération de Russie
CA	Canada	KP	République populaire démocratique de Corée	SD	Soudan
CF	République centrafricaine	KR	République de Corée	SE	Suède
CG	Congo	KZ	Kazakhstan	SG	Singapour
CH	Suisse	LI	Liechtenstein	SI	Slovénie
CI	Côte d'Ivoire	LK	Sri Lanka	SK	Slovaquie
CM	Cameroun	LR	Libéria	SN	Sénégal
CN	Chine	LT	Lituanie	SZ	Swaziland
CS	Tchécoslovaquie	LU	Luxembourg	TD	Tchad
CZ	République tchèque	LV	Lettonie	TG	Togo
DE	Allemagne	MC	Monaco	TJ	Tadjikistan
DK	Danemark	MD	République de Moldova	TT	Trinité-et-Tobago
EE	Estonie	MG	Madagascar	UA	Ukraine
ES	Espagne	ML	Mali	UG	Ouganda
FI	Finlande	MN	Mongolie	US	Etats-Unis d'Amérique
FR	France	MR	Mauritanie	UZ	Ouzbékistan
GA	Gabon			VN	Viet Nam

## DISPOSITIF D'ADRESSAGE D'UN ECRAN MATRICIEL

La présente invention concerne un dispositif d'adressage d'un écran matriciel tel qu'un écran du type LCD ou à  
5 plasma.

Les surfaces d'affichage de tels écrans comportent généralement une pluralité de sous-pixels  $P(i,j)$  représentant l'une des couleurs primaires R, V ou B et adressés à travers un réseau  
10 croisé de N lignes horizontales et de M colonnes verticales, chaque sous-pixel recevant à travers un interrupteur qui le relie à la colonne adjacente, pendant la phase d'adressage (temps ligne), un signal vidéo échantillonné.

15 La résolution spatiale de tels écrans dépend du nombre et du mode de combinaisons de sous-pixels adressables utilisées pour réaliser des pixels affichables dont les séquences successives constituent les lignes et les colonnes vidéo de l'image à afficher.

20 La figure 1 illustre un mode connu de combinaison de sous-pixels, appelé mode L, utilisé pour adresser un écran orthogonal et consistant à réaliser un pixel affichable par combinaison de trois sous-pixels R, V et B situés sur la même  
25 ligne. Dans ce cas, la résolution horizontale, notée  $H_r$ , est égale à  $M/3$ , et est réduite par rapport à la résolution verticale, notée  $H_v$ , dont la valeur est égale à N. En effet, la construction d'un écran VGA de 480 lignes et 640 colonnes utilisant le mode de combinaison L, nécessite un nombre de colonnes M égal à  
30  $640 \cdot 3 = 1920$ , et un nombre de lignes N égal à 480. En outre, afin de respecter le format de l'image, ce mode de combinaison requiert un nombre élevé de sous-pixels ce qui accroît notablement le coût de l'écran.

35 Par ailleurs, dans la mesure où les écrans matriciels ne peuvent être adressés qu'en mode progressif, le mode de

combinaison décrit à la figure 1 nécessite l'utilisation d'un algorithme permettant d'adapter l'écran à une source d'images entrelacées.

5 Les figures 2 et 3 illustrent respectivement une première variante et une deuxième variante d'un deuxième mode connu de combinaison de sous-pixels, appelé mode Delta, utilisé pour adresser un écran du type DELTA. A l'instar du mode L, un pixel affichable est obtenu par combinaison de trois sous-pixels R,  
10 V et B situés sur la même ligne horizontale. Cependant, dans la première variante du mode Delta, représentée à la figure 2, deux lignes successives sont décalées horizontalement l'une par rapport à l'autre d'un demi sous-pixel, tandis que dans la deuxième variante, représentée à figure 3, deux lignes  
15 successives sont décalées horizontalement l'une par rapport à l'autre d'un sous-pixel et demi. Il en résulte que dans le premier cas, une colonne de pixels affichables a une largeur égale à trois fois et demi la largeur d'un sous-pixel tandis que dans le deuxième cas, une colonne de pixels affichables a une largeur  
20 égale à quatre fois et demi celle d'un sous-pixel. Dans le premier cas, la résolution horizontale est réduite dans une proportion de trois fois et demi par rapport à la résolution verticale, tandis que dans le deuxième cas la résolution horizontale est réduite dans une proportion de quatre fois et demi par rapport à la résolution  
25 verticale .

Le but de l'invention est de réaliser un dispositif d'adressage d'un écran matriciel permettant d'améliorer la  
30 résolution horizontale sans trop dégrader la résolution verticale.

Le dispositif selon l'invention comporte un étage mémorisation 70 et 198 recevant, via un étage de démultiplexage 220, une pluralité de séquences de données numériques représentant les signaux vidéo de luminance préalablement  
35 numérisés et délivrant lesdits signaux vidéo de luminance à un étage de multiplexage 230 destiné à sélectionner une séquence

de données numériques correspondant à une combinaison donnée de sous-pixels parmi la pluralité de séquences de données numériques préalablement stockées dans ledit étage de mémorisation 70 et 198.

5

Ainsi, le dispositif selon l'invention, permet de sélectionner une combinaison de sous-pixels permettant d'obtenir un meilleur compromis entre la résolution verticale et la résolution horizontale quel que soit le type d'écran utilisé.

10

D'autres caractéristiques et avantages de l'invention ressortiront de la description qui va suivre, prise à titre d'exemple non limitatif, en référence aux figures annexées dans lesquelles :

15

- la figure 1 illustre partiellement un premier mode de combinaison des sous-pixels R, V et B d'un écran matriciel du type orthogonal, utilisé dans l'art antérieur ;

20

- les figures 2 et 3 illustrent une application du mode de combinaison de sous-pixels de la figure 1 à un écran du type Delta ;

25

- la figure 4 illustre partiellement un premier mode de combinaison des sous-pixels R, V et B d'un écran matriciel réalisé par un dispositif d'adressage conforme à l'invention appliqué à un écran du type orthogonal ;

30

- la figure 5 illustre partiellement une première variante du mode de combinaison des sous-pixels R, V et B illustré à la figure 4 ;

35

- la figure 6 illustre une deuxième variante du mode de combinaison des sous-pixels R, V et B illustré à la figure 4 ;

- les figures 7a et 7b illustrent partiellement une troisième et une quatrième variante du mode de combinaison des

sous-pixels R, V et B illustré à la figure 4 appliqué à un écran matriciel du type Delta ;

5       - la figure 8 illustre partiellement un deuxième mode de combinaison des sous-pixels R, V et B réalisé par un dispositif d'adressage conforme à l'invention appliqué à un écran matriciel du type orthogonal ;

10       - la figure 9 illustre partiellement une cinquième variante du mode de combinaison des sous-pixels R, V et B illustré à la figure 4 appliqué à un écran matriciel du type Delta ;

15       - la figure 10 représente partiellement un premier mode de réalisation d'un dispositif d'adressage conforme à l'invention ;

      - la figure 11 représente partiellement un deuxième mode de réalisation d'un dispositif d'adressage conforme à l'invention ;

20       - les figures 12 à 14 représentent des schémas explicatifs du fonctionnement du dispositif d'adressage de la figure 10 ;

25       - les figures 15 et 16 représentent des schémas explicatifs du fonctionnement du dispositif d'adressage de la figure 11.

30       La figure 10 illustre schématiquement un dispositif d'adressage d'un écran matriciel dont la surface comporte une pluralité de sous-pixels R,V et B recevant chacun un signal vidéo de luminance. Ces pixels sont répartis sur la surface de l'écran selon un réseau de N lignes physiques et M colonnes physiques aux intersections desquelles sont agencés des interrupteurs tels que des TFT (Thin Film Transistors en langue anglaise ) dans le  
35       cas des écrans LCD. Ces interrupteurs permettent de relier,

pendant la phase d'adressage, les pixels adressés aux colonnes physiques.

Selon l'invention, le dispositif d'adressage comporte un  
5 étage de mémorisation 70 et 198 recevant, via un étage de  
démultiplexage 220, une pluralité de séquences de données  
numériques représentant les signaux vidéo de luminance  
préalablement numérisés et délivrant lesdits signaux vidéo de  
luminance à un étage de multiplexage 230 destiné à sélectionner  
10 une séquence de données numériques correspondant à une  
combinaison donnée de sous-pixels parmi la pluralité de  
séquences de données numériques préalablement stockées dans  
ledit étage de mémorisation 70 et 198.

15 Selon un premier mode de réalisation du dispositif  
d'adressage conforme à l'invention, l'étage de mémorisation 70  
comporte une première mémoire 80 dédiée au stockage des  
données numériques résultant de l'échantillonnage des signaux  
envoyés aux sous-pixels R, une deuxième mémoire 82 dédiée au  
20 stockage des données numériques résultant de l'échantillonnage  
des signaux envoyés aux sous-pixels V et une troisième mémoire  
84 dédiée au stockage des données numériques résultant de  
l'échantillonnage des signaux envoyés aux sous-pixels B. Dans ce  
mode de réalisation, l'étage de mémorisation 70 est relié, d'une  
25 part, à un moyen de commande d'écriture 72 des données  
numériques dans les mémoires 80, 82 et 84 et, d'autre part, à un  
moyen de commande de lecture 74 desdites données à partir des  
mémoires 80, 82 et 84, lesdits moyen de commande d'écriture  
72 et de lecture 74 sont reliés à un premier moyen de  
30 synchronisation 76 des phases d'écriture et des phases de  
lecture.

Selon ce mode de réalisation chacune des mémoires  
80, 82 et 84 comporte deux zones distinctes, soit une première  
zone 102 dans laquelle sont écrites les données numériques  
35 relatives aux sous-pixels R, V et B d'une ligne vidéo donnée  
pendant une phase d'écriture donnée, et une deuxième zone 104

à partir de laquelle sont lues, pendant ladite phase d'écriture, les données numériques relatives aux sous-pixels R, V et B d'une ligne vidéo écrite pendant la phase d'écriture précédente.

5                Selon un deuxième mode de réalisation du dispositif d'adressage conforme à l'invention, l'étage de mémorisation 198 comporte deux branches parallèles, soit une première branche dans laquelle est agencé un bloc 200 comportant au moins trois piles FIFO, soit une première pile du 202, une deuxième pile 204  
10 et une troisième pile 206 destinées respectivement à contenir les données vidéo relatives aux sous-pixels R, V et B situés sur l'une des lignes physiques constituant une ligne vidéo paire, et une deuxième branche dans laquelle est agencé un bloc 210 comportant également au moins trois piles FIFO, soit une  
15 quatrième pile 212, une cinquième pile 214 et une sixième pile 216 destinées respectivement à contenir les données vidéo relatives aux sous-pixels R, V et B situés sur l'une des lignes physiques constituant une ligne vidéo impaire.

20                Dans ce mode de réalisation, l'étage de démultiplexage 220 aiguille, d'une part, les données relatives aux sous-pixels R, V et B appartenant aux colonnes vidéo impaires vers le bloc 200 de manière à écrire lesdites données, pendant une phase d'écriture d'une ligne vidéo de durée D, respectivement dans la  
25 première pile 202, la deuxième pile 204 et la troisième pile 206, et d'autre part, les données relatives aux sous-pixels R, V et B appartenant aux colonnes vidéo paires vers le bloc 210, de manière à écrire lesdites données, pendant la phase d'écriture, respectivement dans la quatrième pile 212, la cinquième pile 214  
30 et la sixième pile 216.

               Selon ce deuxième mode de réalisation, un deuxième moyen de synchronisation 240 est relié, d'une part, à l'étage de démultiplexage 220 et délivre à cet étage 220 un premier signal  
35 périodique OW de fréquence F commandant l'écriture des données vidéo relatives aux sous-pixels R, V et B situés sur une



colonne vidéo impaire respectivement dans la première pile 202, dans la deuxième pile 204 et dans la troisième pile 206, et un deuxième signal périodique EW de fréquence F commandant l'écriture des données vidéo relatives aux sous-pixels R, V et B situés sur une colonne vidéo paire respectivement dans la quatrième pile 212, dans la cinquième pile 214 et dans la sixième pile 216. Ce deuxième moyen de synchronisation 240 est relié d'autre part, à l'étage de multiplexage 230, et délivre à cet étage 230 un troisième signal périodique RD de fréquence  $2 \cdot F$  commandant la lecture des données vidéo relatives aux sous-pixels d'une ligne vidéo paire (respectivement impaire) sélectionnée par l'étage de multiplexage 230.

L'étage de multiplexage 230 sélectionne à une fréquence  $1/D$ , à partir d'une date coïncidant avec à la moitié de la durée D, une séquence de données représentant les sous-pixels appartenant à une ligne vidéo à afficher préalablement stockées dans l'une des piles 202, 204, 206, 212, 214 ou 216.

La figure 12, illustre un exemple d'adressage d'un écran du type Delta, représenté partiellement, au moyen d'un dispositif conforme à l'invention. Les pixels successifs  $PX_k$  ( $k=1, 2, 3$ , etc.) des lignes vidéo 35, 37 et 64 sont désignés en fonction de leurs positions spatiales respectives, indiquées par l'indice k. Chaque pixel est constitué par la combinaison de trois sous-pixels  $R_k$ ,  $V_k$  et  $B_k$ . Les signaux SIG1, SIG2, SIG3 représentent les échantillons des signaux de luminance envoyés respectivement aux sous-pixels  $R_k$ ,  $V_k$  et  $B_k$ , situés sur la même colonne vidéo. Ainsi les sous-pixels de la ligne physique  $L_i$  reçoivent respectivement trois séquences SIG1, SIG2, SIG3 comportant respectivement les échantillons  $R_1, R_3, R_5, \dots, V_1, V_3, V_5, \dots$ , et  $B_2, B_4, B_6, \dots$ , tandis que les sous-pixels de la ligne physique  $L_{i+1}$  reçoivent respectivement trois séquences SIG1, SIG2, SIG3 comportant respectivement les échantillons  $R_2, R_4, R_6, \dots, V_2, V_4, V_6, \dots$ , et  $B_3, B_5, B_7$ .

La figure 14 illustre la phase pendant laquelle s'effectue, d'une part, l'écriture des données relatives aux sous-pixels R, V et B d'une ligne vidéo LV, et d'autre part, la lecture des données relatives aux sous-pixels R, V et B de la ligne vidéo précédente LV-1, puis la phase suivante, pendant laquelle s'effectue, d'une part, l'écriture des données relatives aux sous-pixels R, V et B d'une ligne vidéo LV+1, et d'autre part, la lecture des données relatives aux sous-pixels R, V et B de la ligne vidéo LV écrite pendant la phase précédente.

10

Comme cela a été expliqué précédemment l'écriture de ladite ligne vidéo LV et la lecture de ladite ligne vidéo LV-1 se font simultanément et sont synchronisées par le premier moyen de synchronisation 76 qui envoie au moyen de commande d'écriture 72 et au moyen de commande de lecture 74 un signal W/R, représenté à la figure 14, permettant, d'une part, d'écrire de façon progressive les données vidéo relatives aux sous-pixels R, V ou B, et d'autre part, de lire lesdites données corrélativement aux positions spatiales respectives de chacun des sous-pixels R, V et B sur l'écran.

20

La phase d'écriture de la ligne LV est illustrée par les lignes RSTW, WAB, WDA, et W/R tandis que la phase de lecture de la ligne LV-1 est illustrée par les lignes RSTR, RVAB, RVRDA, BDA, BRDA.

25

La ligne RSTW représente un signal d'initialisation de la phase d'écriture, la ligne WAB représente les adresses successives dans les mémoires 80, 82, 84 dans lesquelles vont être stockées successivement les données numériques représentant les échantillons Rk, Vk et Bk. La ligne WDA représente lesdites données numériques transportées respectivement par des bus de données 86, 88, 90. La ligne W/R représente le signal de synchronisation des phases d'écriture et de lecture successives envoyé par le premier moyen de synchronisation 76. La ligne RSTR représente un signal

35

d'initialisation de la phase de lecture. La ligne RVAB représente les adresses successives dans les mémoires 80, 82 et 84 dans lesquelles sont déjà stockées les données numériques représentant les échantillons Rk, Vk. La ligne RVRDA représente les données Rk, Vk lues respectivement sur des bus de données 94 et 96. La ligne BAB représente les adresses successives dans les mémoires 80, 82 et 84 dans lesquelles sont déjà stockées les données numériques représentant les échantillons Bk, la ligne BRDA les données Bk lues sur le bus 92.

10

Les données Rk, Vk et Bk représentées sur la ligne WDA sont écrites progressivement, tandis que les données RVRDA et BRDA, préalablement écrites, sont lues corrélativement à leurs positions respectives sur la surface de l'écran.

15

La figure 15 illustre partiellement une pile 202 et une pile 210 et la figure 16 illustre la phase pendant laquelle s'effectue, d'une part, l'écriture des données relatives aux sous-pixels R, V et B d'une ligne vidéo LV, et d'autre part, la phase pendant laquelle s'effectue la lecture des données relatives aux sous-pixels R, V et B de ladite ligne vidéo LV précédemment écrites dans les piles 202 et 210, puis la phase, pendant laquelle s'effectue, d'une part, l'écriture des données relatives aux sous-pixels R, V et B de la ligne vidéo LV + 1, et d'autre part, la phase pendant laquelle s'effectue la lecture des données relatives aux sous-pixels R, V et B de ladite ligne vidéo LV + 1, précédemment écrites dans les piles 202 et 210. La synchronisation desdites phases d'écriture et de lecture est réalisée par l'intermédiaire d'un deuxième moyen de synchronisation 240 fournissant, d'une part, à l'étage de démultiplexage 220 un premier signal périodique OW de fréquence F commandant l'écriture des données vidéo relatives aux sous-pixels R, V et B situés sur une colonne vidéo impaire respectivement dans les piles 202, 204 et 206, et un deuxième signal périodique EW de fréquence F commandant l'écriture des données vidéo relatives aux sous-pixels R, V et B situés sur une colonne vidéo paire respectivement dans les piles 212, 214 et

35

216, et, d'autre part, à l'étage de multiplexage 230 un troisième  
signal périodique RD de fréquence  $2 \cdot F$  commandant la lecture des  
données vidéo relatives aux sous-pixels d'une colonne vidéo paire  
(respectivement impaire) sélectionnée par l'étage de multiplexage  
5 230.

Sur la figure 16, la ligne IE représente un signal  
d'initialisation de la phase d'écriture, la ligne OW représente le  
signal de commande de l'écriture des données vidéo relatives aux  
10 sous-pixels R, V et B situés sur une colonne vidéo impaire, la ligne  
EW représente le signal de commande de l'écriture des données  
vidéo relatives aux sous-pixels R, V et B situés sur une colonne  
vidéo paire, la ligne WDA représente les données numériques à  
écrire dans les piles 202 et 210, la ligne IL représente un signal  
15 d'initialisation de la phase de lecture, la ligne RDA représente les  
données lues, la ligne OEE représente un signal de sélection des  
données relatives aux sous-pixels R, V et B situés sur une colonne  
vidéo impaire, la ligne EOE représente un signal de sélection des  
données relatives aux sous-pixels R, V et B situés sur une colonne  
20 vidéo paire. Comme on peut le voir sur les lignes OW, l'écriture  
dans la pile 202 des données vidéo relatives aux sous-pixels R, V  
et B situés sur une colonne vidéo impaire est synchronisée sur  
chaque front montant du signal OW. De même, l'écriture, dans la  
pile 210, des données vidéo relatives aux sous-pixels R, V et B  
25 situés sur une colonne vidéo paire est synchronisée sur chaque  
front montant du signal EW. Le signal RD permettant la lecture  
des données numériques a une fréquence double de celle des  
signaux OW et EW. Par conséquent, afin de synchroniser, avec la  
fréquence d'une ligne vidéo, la durée totale des phases de lecture  
30 des données relatives aux sous-pixels R, V et B situés sur une  
colonne vidéo impaire et celles relatives aux sous-pixels R, V et B  
situés sur une colonne vidéo paire, lesdites phases de lecture  
démarreront lorsque les piles 202 et 212 sont à moitié pleines.  
Ainsi dans l'exemple de la figure 16, les données impaires sont  
35 lues à chaque front montant du signal RD à partir d'un instant  
coïncidant avec l'écriture, de la 321<sup>ème</sup> donnée, située dans cet

exemple à la moitié de la pile 202, et lorsque le signal OEE a un niveau logique Haut. Parallèlement les données paires sont lues à chaque front montant du signal RD à un instant coïncidant avec l'écriture, dans la pile 212, de la 321<sup>nième</sup> donnée lorsque le  
5 signal EOE a un niveau logique Haut.

Les figures 4 à 9 illustrent une combinaison de sous-pixels dans laquelle deux lignes physiques  $L_i$  et  $L_{i+1}$  sont utilisées pour constituer une ligne vidéo de l'image à afficher, et ladite image est décomposée en une trame impaire 9, 11, 13, 15,  
10 17, 19 et 20 comprenant des lignes vidéo impaires 21, 23, 25, 27, 29, 31, 33, 35, 37, 39, 41, 43, 45, 47 et 49, et une trame paire 40, 42, 44, 46, 48, 50 et 52 comprenant des lignes vidéo paires 54, 56, 58, 60, 62, 64, 65, 66, 67 et 68, lesdites trames impaires et paires étant décalées, l'une par rapport à l'autre d'une  
15 ligne physique, de manière à permettre un entrelacement des lignes vidéo impaires avec les lignes vidéo paires.

Comme on peut le voir sur chacune des figures 4 à 8, les lignes physiques  $L_i$  utilisées pour constituer les lignes vidéo paires 54, 56, 58, 64, 65 et 67 sont également utilisées pour  
20 constituer les lignes physiques  $L_{i+1}$  des lignes vidéo impaires respectives 21, 25, 29, 35, 39 et 43. Ceci permet de réaliser un entrelacement desdites lignes vidéo paires et desdites lignes vidéo impaires.

25 Selon un premier exemple d'application du dispositif d'adressage conforme à l'invention illustré par les figures 4 à 7b et 9, l'étage de multiplexage 220 sélectionne les séquences de signaux numériques relatives à deux sous-pixels contigus situés sur la ligne physique  $L_i$  (respectivement  $L_{i+1}$ ) et à un sous-pixel  
30 situé sur la ligne physique  $L_{i+1}$  (respectivement  $L_i$ ), puis les séquences de signaux numériques relatives à un sous-pixel situé sur la ligne  $L_i$  (respectivement  $L_{i+1}$ ) et à deux sous-pixels situés sur la ligne  $L_{i+1}$  (respectivement  $L_i$ ) pour adresser pixel d'une  
35 ligne vidéo de l'image à afficher.

Selon un deuxième exemple d'application du dispositif d'adressage conforme à l'invention illustré par la figure 8, l'étage de multiplexage 220 sélectionne les séquences de signaux numériques relatives à un premier sous-pixel situé sur la ligne physique Li et les séquences de signaux numériques relatives à un  
5 deuxième sous-pixel adjacent au premier sous-pixel, et situé sur la ligne physique Li + 1 pour adresser un pixel de la ligne vidéo 43 et 45 (respectivement 67).

10 Ce mode de combinaison est particulièrement adapté à des utilisations ne nécessitant pas une bonne colorimétrie mais requérant plutôt une bonne finesse de détail, dans la mesure où d'une part, il permet de tripler la résolution horizontale par rapport aux modes de combinaison de l'art antérieur décrit  
15 précédemment, et d'autre part, il provoque des repliements de spectre connus sous le terme anglais aliasing coloré produisant une irisation des détails de l'image affichée.

L'échantillonnage des signaux vidéo envoyés aux sous-pixels combinés est réalisé, soit simultanément, soit en mode spatial, c'est-à-dire à des instants différents correspondant aux positions respectives desdits sous-pixels sur la surface de l'écran.

Ainsi, en désignant par i et par j les positions relatives des sous-pixels respectivement sur les lignes et sur les colonnes physiques de l'écran matriciel, pour j variant périodiquement de 1 à M, et pour deux lignes physiques Li et Li + 1 données situées sur la trame impaire 19, dans un premier exemple d'adressage, on échantillonne :

25 - les signaux vidéo envoyés aux sous-pixels  $p(i,j)$  et  $p(i+1,j)$  représentant respectivement les couleurs primaires R et V pour constituer les premiers pixels affichables de la ligne vidéo impaire 43 et 45, puis les signaux vidéo envoyés aux sous-pixels  $p(i,j+1)$  et  $p(i+1,j+1)$  représentant respectivement les couleurs  
30 primaires V et B pour constituer les deuxièmes pixels affichables desdites lignes vidéo impaires 43 et 45, et pour deux lignes

physiques  $L_i$  et  $L_i + 1$  données située sur la trame paire 50, on échantillonne :

- les signaux vidéo envoyés aux sous-pixels  $p(i,j)$  et  $p(i+1,j)$  représentant respectivement les couleurs primaires V et R pour constituer le premier pixel affichable de la ligne vidéo paire 67, puis les signaux vidéo envoyés aux sous-pixels  $p(i,j+1)$  et  $p(i+1,j+1)$  représentant respectivement les couleurs primaires B et V pour constituer le deuxième pixel affichable de ladite ligne vidéo paire 67.

10

Dans un deuxième exemple d'adressage, appliqué à un écran du type orthogonal, illustré par la figure 4, pour  $j$  variant périodiquement de 1 à  $M$  par pas de 3, et pour deux lignes physiques  $L_i$  et  $L_i + 1$  données situées sur la trame impaire 9, on échantillonne :

15

- les signaux vidéo envoyés aux sous-pixels  $p(i,j)$ ,  $p(i,j+1)$  et  $p(i+1,j)$  représentant respectivement les couleurs primaires R, V et B pour constituer le premier pixel affichable de la ligne vidéo impaire 21 et 23, puis les signaux vidéo envoyés aux sous-pixels  $p(i,j+2)$ ,  $p(i+1,j+1)$  et  $p(i+1,j+2)$  représentant respectivement les couleurs primaires B, R et V pour constituer le pixel suivant de ladite ligne vidéo impaire 21 et 23, et pour deux lignes physiques  $L_i$  et  $L_i + 1$  données situées sur la trame paire 40, on échantillonne :

20

25

- les signaux vidéo envoyés aux sous-pixels  $p(i,j)$ ,  $p(i+1,j)$  et  $p(i+1,j+1)$  représentant respectivement les couleurs primaires B, R et V pour constituer le premier pixel affichable de la ligne vidéo paire 54, puis les signaux vidéo envoyés aux sous-pixels  $p(i,j+1)$ ,  $p(i,j+2)$  et  $p(i+1,j+2)$  représentant respectivement les couleurs primaires R, V et B pour constituer le pixel suivant de ladite ligne vidéo paire 54.

30

Dans un troisième exemple d'adressage, appliqué à un écran du type orthogonal, illustré par la figure 5, pour  $j$  variant périodiquement de 1 à  $M$  par pas de 3, et pour deux lignes

35

physiques  $Li$  et  $Li + 1$  données situées sur la trame impaire 11, on échantillonne :

5 - les signaux vidéo envoyés aux sous-pixels  $p(i, j + 1)$ ,  $p(i + 1, j)$  et  $p(i + 1, j + 1)$  représentant respectivement les couleurs primaires V, B et R pour constituer le premier pixel affichable de la ligne vidéo impaire 25 et 27, puis les signaux vidéo envoyés aux sous-pixels  $p(i, j + 2)$ ,  $p(i, j + 3)$  et  $p(i + 1, j + 2)$  représentant respectivement les couleurs primaires B, R et V pour constituer le pixel suivant de ladite ligne vidéo impaire 25 et 27, et pour deux  
10 lignes physiques  $Li$  et  $Li + 1$  données situées sur la trame paire 42, on échantillonne :

- les signaux vidéo envoyés aux sous-pixels  $p(i, j)$ ,  $p(i, j + 1)$  et  $p(i + 1, j + 1)$  représentant respectivement les couleurs primaires B, R et V pour constituer le premier pixel affichable de  
15 la ligne vidéo paire 56, puis les signaux vidéo envoyés aux sous-pixels  $p(i, j + 2)$ ,  $p(i + 1, j + 2)$  et  $p(i + 1, j + 3)$  représentant respectivement les couleurs primaires V, B et R pour constituer le pixel suivant de ladite ligne vidéo paire 56.

20 Dans un cinquième exemple d'adressage, appliqué à un écran du type orthogonal, illustré par la figure 6, pour  $j$  variant périodiquement de 1 à  $M$  par pas de 3, et pour six lignes physiques  $Li$  et  $Li + 1$ ,  $Li + 2$ ,  $Li + 3$ ,  $Li + 4$ ,  $Li + 5$  données situées sur la trame impaire 13, on échantillonne :

25 - les signaux vidéo envoyés aux sous-pixels  $p(i, j)$ ,  $p(i + 1, j)$  et  $p(i + 1, j + 1)$  représentant respectivement les couleurs primaires R, V et B pour constituer le premier pixel affichable de la ligne vidéo impaire 29, puis les signaux vidéo envoyés aux sous-pixels  $p(i, j + 1)$ ,  $p(i, j + 2)$  et  $p(i + 1, j + 2)$  représentant  
30 respectivement les couleurs primaires V, B et R pour constituer le deuxième pixel de ladite ligne vidéo impaire 29, puis les signaux vidéo envoyés aux sous-pixels  $p(i, j)$ ,  $p(i + 1, j)$  et  $p(i + 1, j + 1)$  représentant respectivement les couleurs primaires B, R et V pour constituer le premier pixel de la ligne vidéo impaire suivante 31,  
35 puis les signaux vidéo envoyés aux sous-pixels  $p(i, j + 1)$ ,  $p(i, j + 2)$  et  $p(i + 1, j + 2)$  représentant respectivement les couleurs primaires



R, V et B pour constituer le deuxième pixel affichable de la ligne vidéo impaire 31, puis les signaux vidéo envoyés aux sous-pixels  $p(i,j)$ ,  $p(i+1,j)$  et  $p(i+1,j+1)$  représentant respectivement les couleurs primaires V, B et R pour constituer le premier pixel de ladite ligne vidéo impaire 33, puis les signaux vidéo envoyés aux sous-pixels  $p(i,j+1)$ ,  $p(i,j+2)$  et  $p(i+1,j+2)$  représentant respectivement les couleurs primaires B, R et V pour constituer le deuxième pixel de ladite ligne vidéo impaire 33, et pour six lignes physiques  $L_i$  et  $L_i+1$ ,  $L_i+2$ ,  $L_i+3$ ,  $L_i+4$ ,  $L_i+5$  données situées sur la trame paire 44, on échantillonne :

- les signaux vidéo envoyés aux sous-pixels  $p(i,j)$ ,  $p(i+1,j)$  et  $p(i+1,j+1)$  représentant respectivement les couleurs primaires V, B et R pour constituer le premier pixel affichable de la ligne vidéo paire 58, puis les signaux vidéo envoyés aux sous-pixels  $p(i,j+1)$ ,  $p(i,j+2)$  et  $p(i+1,j+2)$  représentant respectivement les couleurs primaires B, R et V pour constituer le deuxième pixel de ladite ligne vidéo paire 58, puis les signaux vidéo envoyés aux sous-pixels  $p(i,j)$ ,  $p(i+1,j)$  et  $p(i+1,j+1)$  représentant respectivement les couleurs primaires R, V et B pour constituer le premier pixel de la ligne vidéo paire suivante 60, puis les signaux vidéo envoyés aux sous-pixels  $p(i,j+1)$ ,  $p(i,j+2)$  et  $p(i+1,j+2)$  représentant respectivement les couleurs primaires V, B et R pour constituer le deuxième pixel affichable de la ligne vidéo paire 60, puis les signaux vidéo envoyés aux sous-pixels  $p(i,j)$ ,  $p(i+1,j)$  et  $p(i+1,j+1)$  représentant respectivement les couleurs primaires B, R et V pour constituer le premier pixel de ladite ligne vidéo paire 62, puis les signaux vidéo envoyés aux sous-pixels  $p(i,j+1)$ ,  $p(i,j+2)$  et  $p(i+1,j+2)$  représentant respectivement les couleurs primaires R, V et B pour constituer le deuxième pixel de ladite ligne vidéo paire 62.

Dans un sixième exemple d'adressage, appliqué à un écran du type Delta représenté à la figure 7a, dans lequel les lignes physiques  $L_i+1$  sont décalées vers la droite d'un demi sous-pixel par rapport aux lignes physiques  $L_i$ , pour  $j$  variant périodiquement de 1 à M par pas de 3, et pour deux lignes

physiques  $Li$  et  $Li + 1$  données situées sur la trame impaire 15, on échantillonne :

5                   - les signaux vidéo envoyés aux sous-pixels  $p(i,j)$ ,  $p(i,j+1)$  et  $p(i+1,j)$  représentant respectivement les couleurs primaires R, V et B pour constituer le premier pixel affichable la ligne vidéo impaire 35 et 37, puis les signaux vidéo envoyés aux sous-pixels  $p(i,j+2)$ ,  $p(i+1,j+1)$  et  $p(i+1,j+2)$  représentant respectivement les couleurs primaires B, R et V pour constituer le pixel suivant de ladite ligne vidéo impaire 35 et 37, et pour deux  
10 lignes physiques  $Li$  et  $Li + 1$  situées sur la trame paire 46, on échantillonne :

                  - les signaux vidéo envoyés aux sous-pixels  $p(i,j)$ ,  $p(i+1,j)$  et  $p(i+1,j+1)$  représentant respectivement les couleurs primaires B, R et V pour constituer le premier pixel affichable la  
15 ligne vidéo paire 64, puis les signaux vidéo envoyés aux sous-pixels  $p(i,j+1)$ ,  $p(i,j+2)$  et  $p(i+1,j+2)$  représentant respectivement les couleurs primaires R, V et B pour constituer le pixel suivant de ladite ligne vidéo paire 64.

20                   Dans un septième exemple d'adressage, appliqué à un écran du type Delta représenté à la figure 7b, pour  $j$  variant périodiquement de 1 à  $M$  par pas de 3, pour deux lignes physiques  $Li$  et  $Li + 1$  situées sur la trame vidéo impaire 17, on échantillonne :

25                   - les signaux vidéo envoyés aux sous-pixels  $p(i,j)$ ,  $p(i,j+1)$  et  $p(i+1,j)$  représentant respectivement les couleurs primaires R, V et B pour constituer le premier pixel affichable la ligne vidéo impaire 39, puis les signaux vidéo envoyés aux sous-pixels  $p(i,j+2)$ ,  $p(i+1,j+1)$  et  $p(i+1,j+2)$  représentant  
30 respectivement les couleurs primaires B, R et V pour constituer le deuxième pixel affichable la ligne vidéo impaire 39, puis les signaux vidéo envoyés aux sous-pixels  $p(i,j+1)$ ,  $p(i+1,j)$  et  $p(i+1,j+1)$  représentant respectivement les couleurs primaires V, B et R pour constituer le premier pixel affichable la ligne vidéo  
35 impaire 41, puis les signaux vidéo envoyés aux sous-pixels  $p(i,j+2)$ ,  $p(i,j+3)$  et  $p(i+1,j+2)$  représentant respectivement les

couleurs primaires B, R et V pour constituer le deuxième pixel affichable la ligne vidéo impaire 41, et pour deux lignes physiques  $L_i$  et  $L_i + 1$  situées sur la trame vidéo paire 48, on échantillonne :

- les signaux vidéo envoyés aux sous-pixels  $p(i,j)$ ,  $p(i+1,j)$  et  $p(i+1,j+1)$  représentant respectivement les couleurs primaires B, R et V pour constituer le premier pixel affichable la ligne vidéo impaire 65, puis les signaux vidéo envoyés aux sous-pixels  $p(i,j+1)$ ,  $p(i,j+2)$  et  $p(i+1,j+2)$  représentant respectivement les couleurs primaires R, V et B pour constituer le deuxième pixel affichable la ligne vidéo impaire 65, puis les signaux vidéo envoyés aux sous-pixels  $p(i,j)$ ,  $p(i,j+1)$  et  $p(i+1,j+1)$  représentant respectivement les couleurs primaires B, R et V pour constituer le premier pixel affichable la ligne vidéo impaire 66, puis les signaux vidéo envoyés aux sous-pixels  $p(i,j+2)$ ,  $p(i+1,j+2)$  et  $p(i+1,j+3)$  représentant respectivement les couleurs primaires V, B et R pour constituer le deuxième pixel affichable de la ligne vidéo impaire 66.

- Dans un huitième exemple d'adressage, appliqué à un écran du type Delta représenté à la figure 9, pour  $j$  variant périodiquement de 1 à  $M$  par pas de 3, pour quatre lignes physiques  $L_i$ ,  $L_i + 1$ ,  $L_i + 2$  et  $L_i + 3$  situées sur la trame vidéo impaire 20, on échantillonne :

- les signaux vidéo envoyés aux sous-pixels  $p(i,j)$ ,  $p(i,j+1)$  et  $p(i+1,j)$  représentant respectivement les couleurs primaires R, V et B pour constituer le premier pixel affichable la ligne vidéo impaire 47, puis les signaux vidéo envoyés aux sous-pixels  $p(i+1,j+1)$ ,  $p(i+1,j+2)$  et  $p(i+2,j+2)$  représentant respectivement les couleurs primaires R, V et B pour constituer le deuxième pixel affichable commun à la ligne vidéo impaire 47, puis les signaux vidéo envoyés aux sous-pixels  $p(i+2,j)$ ,  $p(i+2,j+1)$  et  $p(i+3,j)$  représentant respectivement les couleurs primaires R, V et B pour constituer le premier pixel affichable la ligne vidéo impaire 49, puis les signaux vidéo envoyés aux sous-pixels  $p(i+3,j+1)$ ,  $p(i+3,j+2)$  et  $p(i+4,j+2)$  représentant respectivement les couleurs primaires R, V et B pour constituer le

deuxième pixel affichable de la lignes vidéo impaire 49, et pour trois lignes physiques  $L_i$ ,  $L_i + 1$  et  $L_i + 2$  situées sur la trame vidéo paire 52, on échantillonne :

- les signaux vidéo envoyés aux sous-pixels  $p(i,j)$ ,  $p(i+1,j)$  et  $p(i+1,j+1)$  représentant respectivement les couleurs primaires B, R et V pour constituer le premier pixel affichable la ligne vidéo paire 68, puis les signaux vidéo envoyés aux sous-pixels  $p(i+1,j+2)$ ,  $p(i+2,j+1)$  et  $p(i+2,j+2)$  représentant respectivement les couleurs primaires B, R et V pour constituer le deuxième pixel affichable la ligne vidéo impaire 68.

- Grâce au dispositif selon l'invention, la résolution est améliorée, quel que soit le type d'écran adressé. En particulier, pour les écrans du type Delta, la résolution est égale à  $M \cdot 2/3$  et donc double de la résolution obtenue par les modes d'adressage de ces écrans par des dispositif de l'art antérieur et la résolution verticale est égale à  $N/2$  pour des lignes strictement verticales et à  $N$  pour des lignes diagonales.

## REVENDICATIONS

1. Dispositif d'adressage d'un écran matriciel propre à afficher des images comportant une pluralité de lignes et de colonnes vidéo dont les pixels constitutifs sont obtenus par combinaison d'une pluralité de sous-pixels R, V et B recevant chacun un signal vidéo de luminance et répartis selon un réseau de N lignes et M colonnes physiques, caractérisé en ce qu'il comporte un étage de mémorisation (70, 198) recevant, via un étage de démultiplexage (220), une pluralité de séquences de données numériques représentant les signaux vidéo de luminance préalablement numérisés, et délivrant lesdits signaux vidéo de luminance à un étage de multiplexage (230) destiné à sélectionner une séquence de données numériques correspondant à une combinaison donnée de sous-pixels parmi la pluralité de séquences de données numériques préalablement stockées dans ledit étage de mémorisation (70, 198).

2. Dispositif selon la revendication 1, caractérisé en ce que l'étage de mémorisation (198) comporte deux branches parallèles, soit une première branche dans laquelle est agencé un bloc (200) comportant au moins trois piles FIFO, soit une première pile (202), une deuxième pile (204) et une troisième pile (206) destinées respectivement à contenir les données vidéo relatives aux sous-pixels R, V et B situés sur l'une des lignes physiques constituant une ligne vidéo paire, et une deuxième branche dans laquelle est agencé un bloc (210) comportant également au moins trois piles FIFO, soit une quatrième pile (212), une cinquième pile (214) et une sixième pile (216) destinées respectivement à contenir les données vidéo relatives aux sous-pixels R, V et B situés sur l'une des lignes physiques constituant une ligne vidéo impaire.

3. Dispositif selon la revendication 2, caractérisé en ce qu'il comporte un moyen de commande d'écriture (72) des données numériques dans les mémoires (80, 82, 84) et un moyen

de commande de lecture (74) desdites données à partir des mémoires (80, 82, 84), lesdits moyens de commande d'écriture (72) et de lecture (74) sont reliés à un premier moyen de synchronisation (76) des phases d'écriture et des phases de lecture.

4. Dispositif selon la revendication 3, caractérisé en ce que chacune des mémoires (80), (82) et (84) comporte deux zones distinctes, soit une première zone (102) dans laquelle sont écrites les données numériques relatives aux sous-pixels R, V et B d'une ligne vidéo donnée pendant une phase d'écriture donnée, et une deuxième zone (104) à partir de laquelle sont lues, pendant ladite phase d'écriture, les données numériques relatives aux sous-pixels R, V et B d'une ligne vidéo écrite pendant la phase d'écriture précédente.

5. Dispositif selon la revendication 1, caractérisé en ce que l'étage de mémorisation (198) comporte deux branches parallèles, soit une première branche dans laquelle est agencé un bloc (200) comportant une première pile du type FIFO (202), une deuxième pile (204) et une troisième pile (206) destinées respectivement à contenir les données vidéo relatives aux sous-pixels R, V et B situés sur l'une des lignes physiques constituant une ligne vidéo paire, et une deuxième branche dans laquelle est agencé un bloc (210) comportant une quatrième pile (212), une cinquième pile (214) et une sixième pile (216) destinées respectivement à contenir les données vidéo relatives aux sous-pixels R, V et B situés sur l'une des lignes physiques constituant une ligne vidéo impaire.

6. Dispositif selon la revendication 5, caractérisé en ce que l'étage de démultiplexage (220) aiguille, d'une part, les données relatives aux sous-pixels R, V et B appartenant aux colonnes vidéo impaires vers le bloc (200) de manière à écrire lesdites données, pendant une phase d'écriture d'une ligne vidéo de durée D, respectivement dans la première pile (202), dans la

deuxième pile (204) et dans la troisième pile (206), et d'autre part, les données relatives aux sous-pixels R, V et B appartenant aux colonnes vidéo paires vers le bloc (210), de manière à écrire lesdites données, pendant la phase d'écriture, respectivement  
5 dans la quatrième pile (212), dans la cinquième pile (214) et dans la sixième pile (216).

7. Dispositif selon la revendication 6, caractérisé en ce que l'étage de multiplexage (230) sélectionne à une fréquence  
10  $1/D$ , à partir d'une date coïncidant avec à la moitié de la durée  $D$ , une séquence de données représentant les sous-pixels appartenant à une ligne vidéo à afficher préalablement stockées dans l'une des piles (202), (204), (206), (212), (214) ou (216).

15 8. Dispositif selon l'une des revendications 5 à 7, caractérisé en ce qu'il comporte un moyen de synchronisation (240) relié, d'une part, à l'étage de démultiplexage (220) et délivrant à cet étage (220) un premier signal périodique OW de fréquence  $F$  commandant l'écriture des données vidéo relatives  
20 aux sous-pixels R, V et B situés sur une colonne vidéo impaire respectivement dans la première pile (202), dans la deuxième pile (204) et dans la troisième pile (206), et un deuxième signal périodique EW de fréquence  $F$  commandant l'écriture des données vidéo relatives aux sous-pixels R, V et B situés sur une colonne  
25 vidéo paire respectivement dans la quatrième pile (212), dans la cinquième pile (214) et dans la sixième pile (216), ce moyen de synchronisation (240) est relié d'autre part, à l'étage de multiplexage (230), et délivre à cet étage (230) un troisième signal périodique RD de fréquence  $2 \cdot F$  commandant la lecture des  
30 données vidéo relatives aux sous-pixels d'une ligne vidéo paire (respectivement impaire) sélectionnée par l'étage de multiplexage (230).

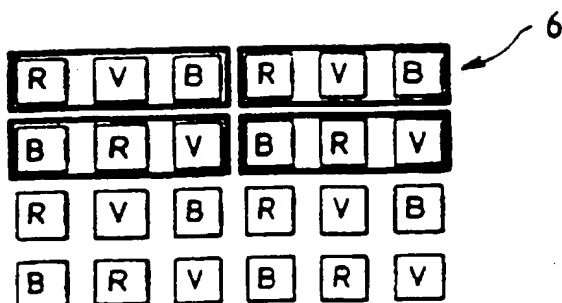


FIG. 1

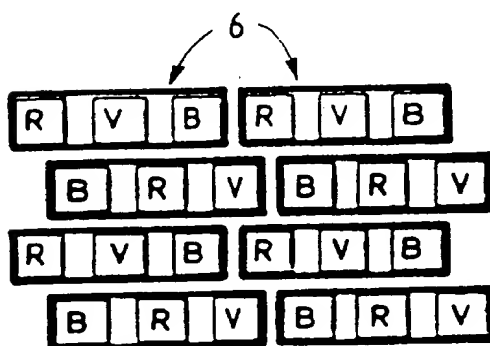


FIG. 2

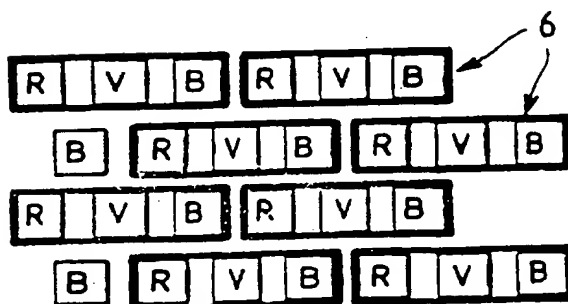


FIG. 3



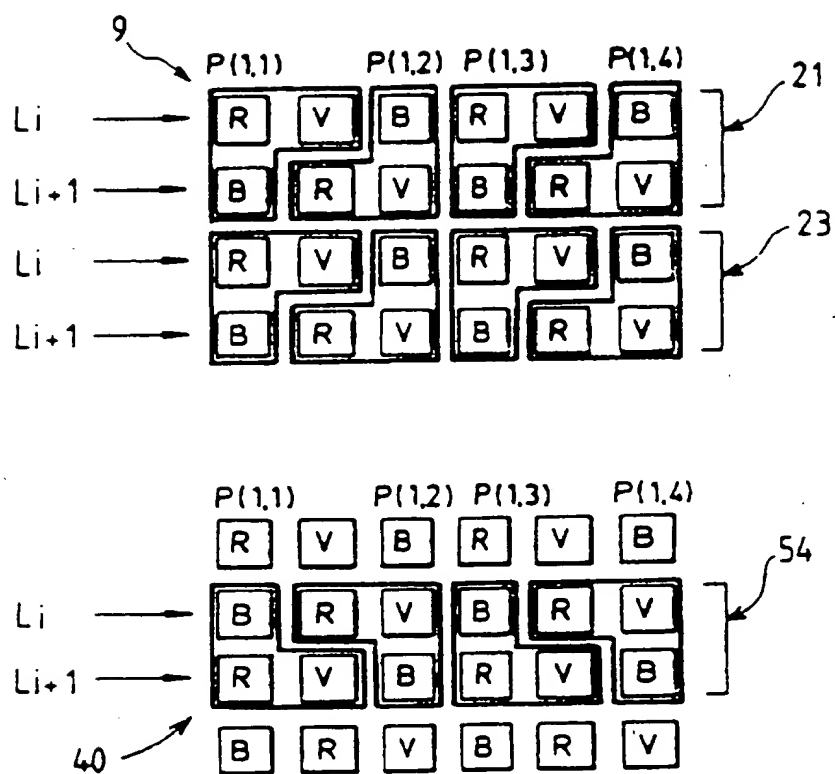


FIG.4

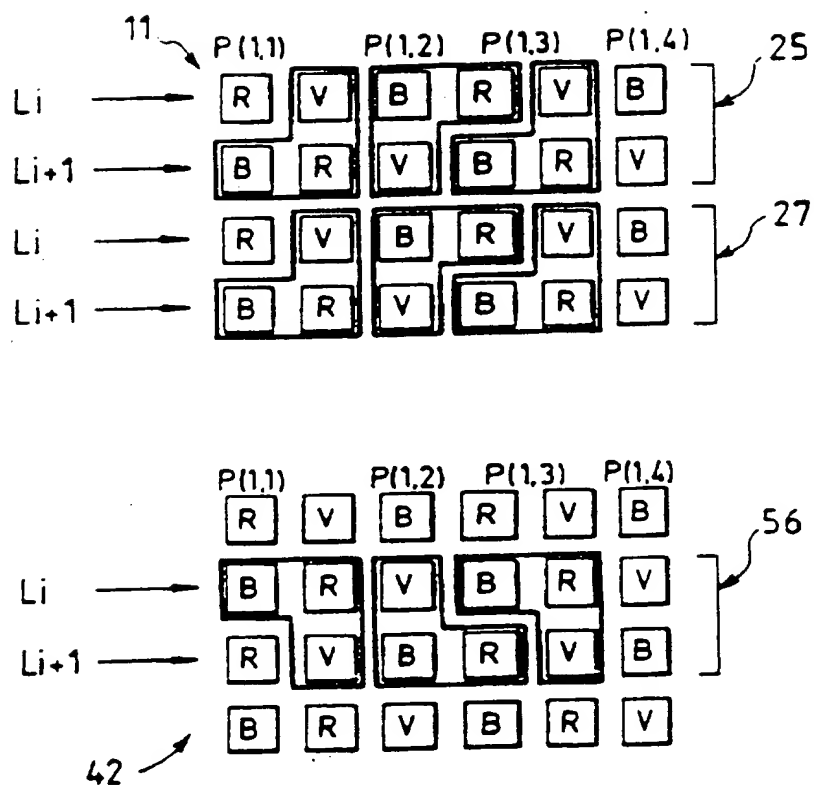


FIG.5

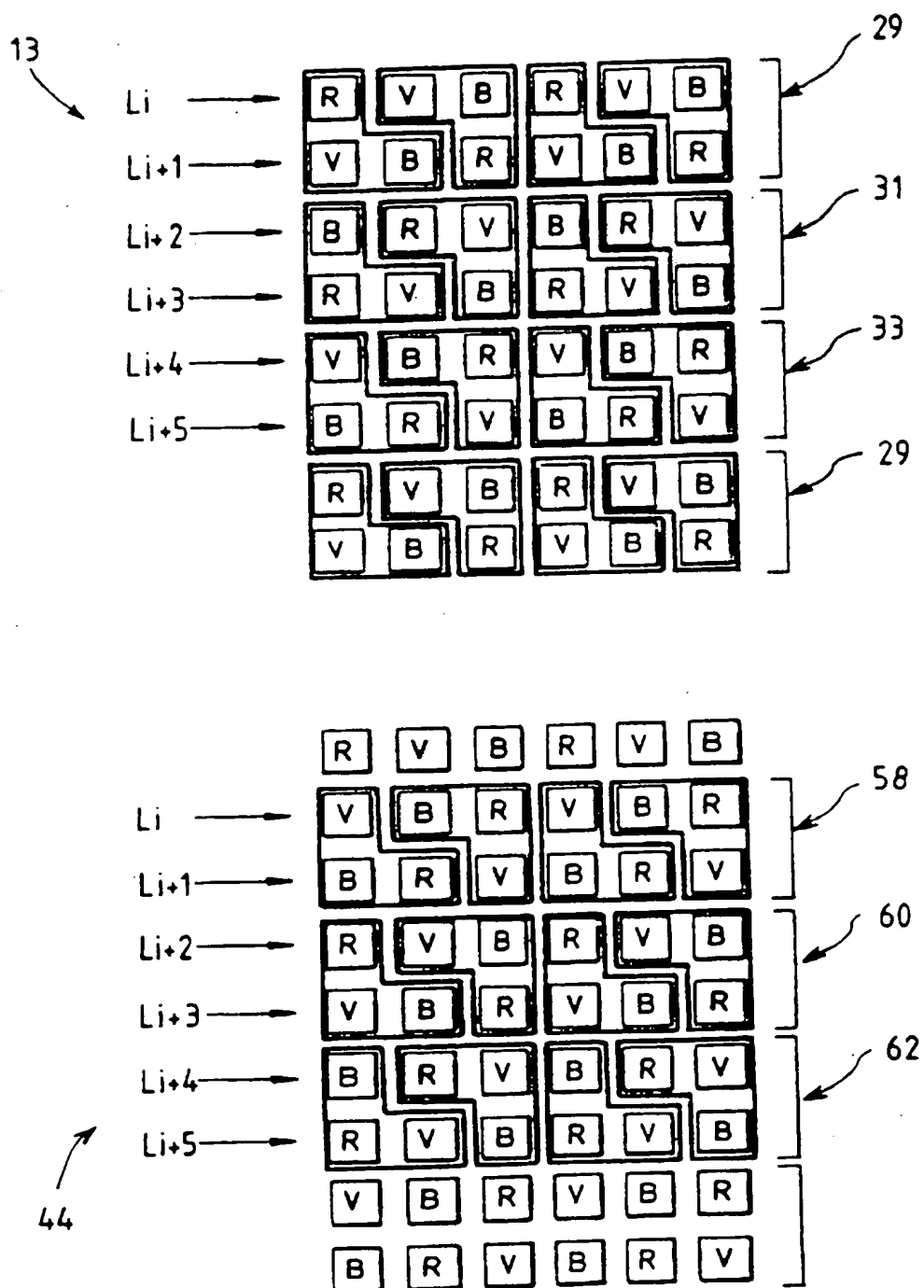


FIG. 6

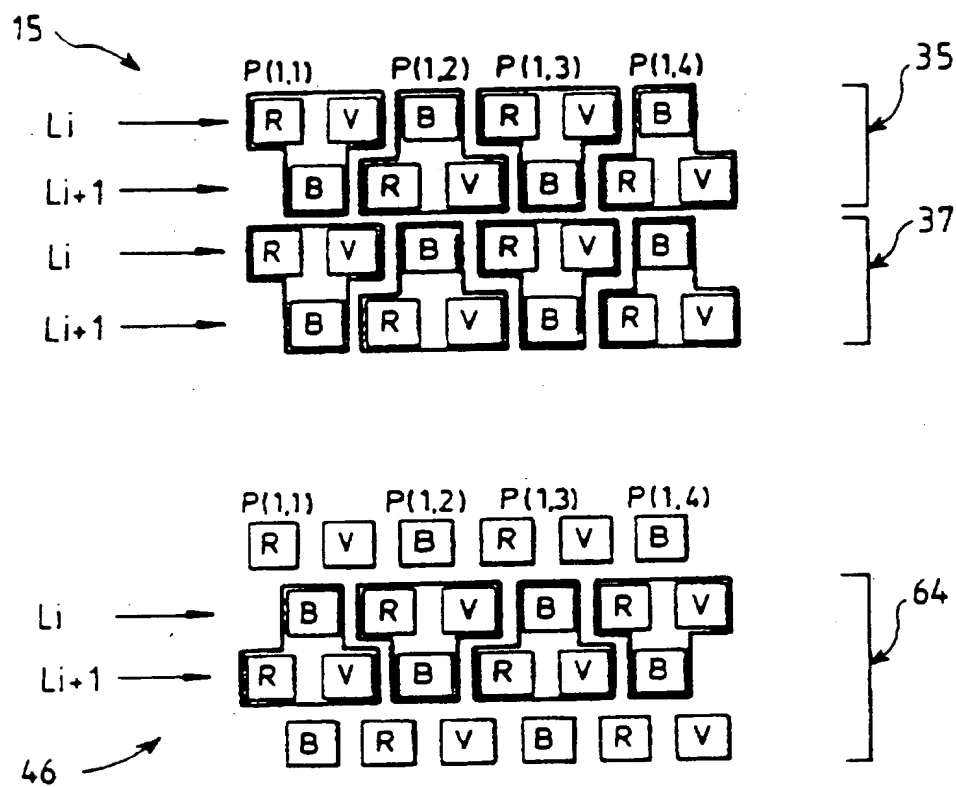


FIG. 7a

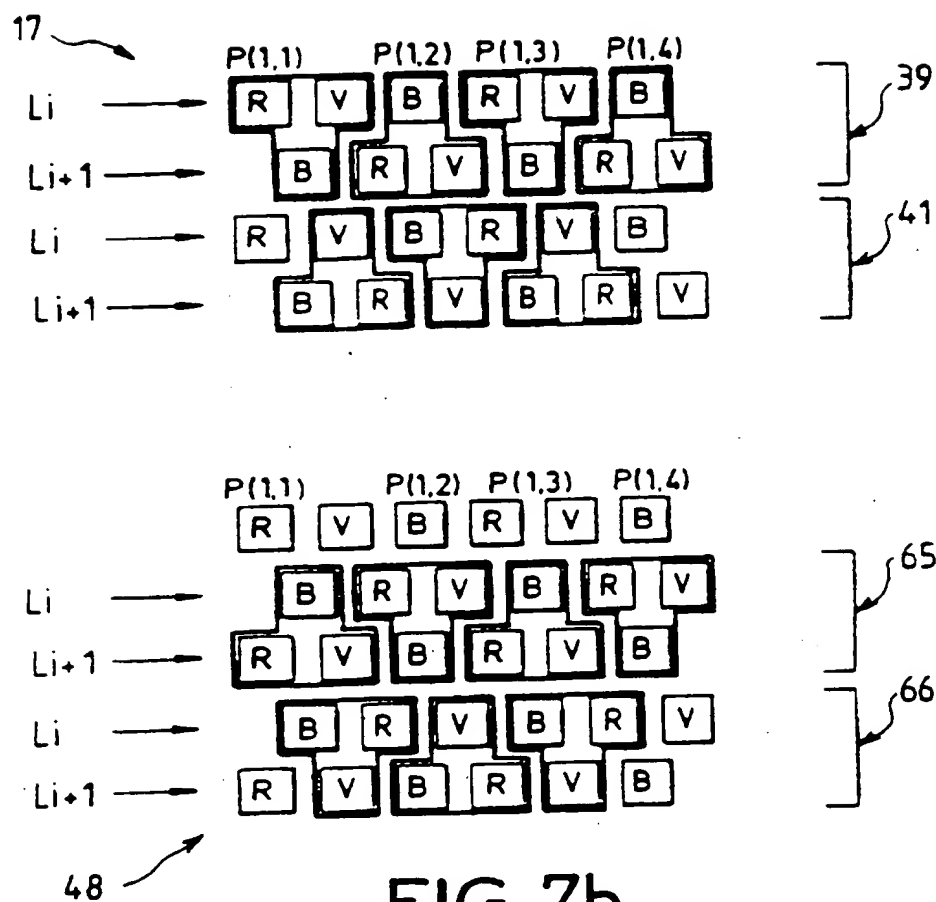


FIG. 7b

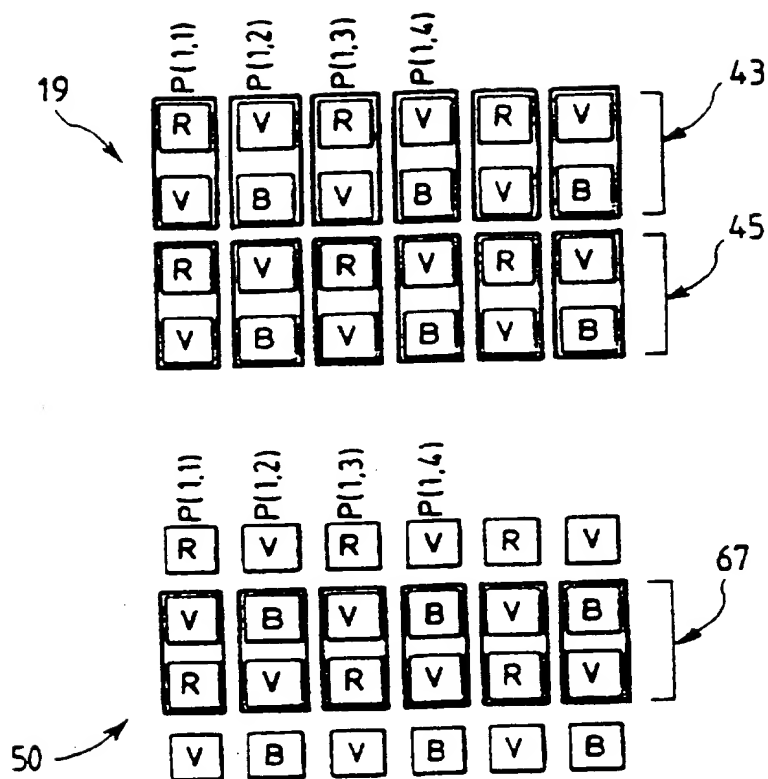


FIG. 8

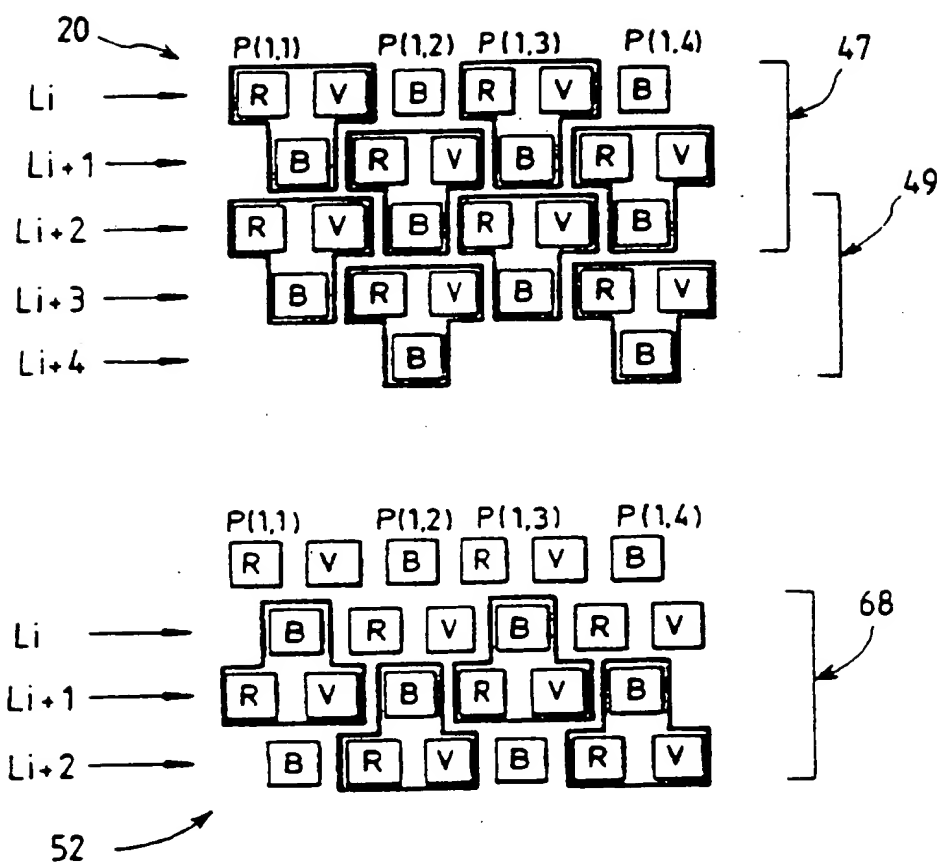


FIG. 9

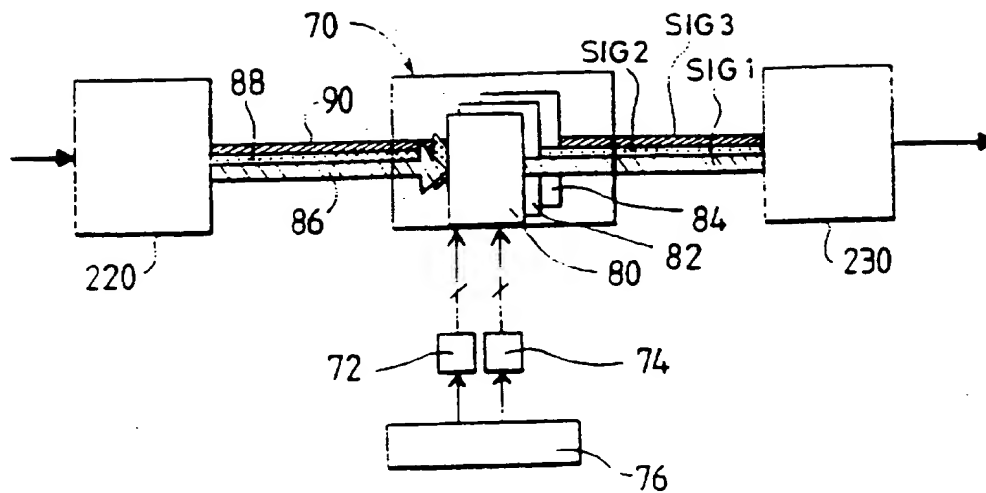


FIG. 10

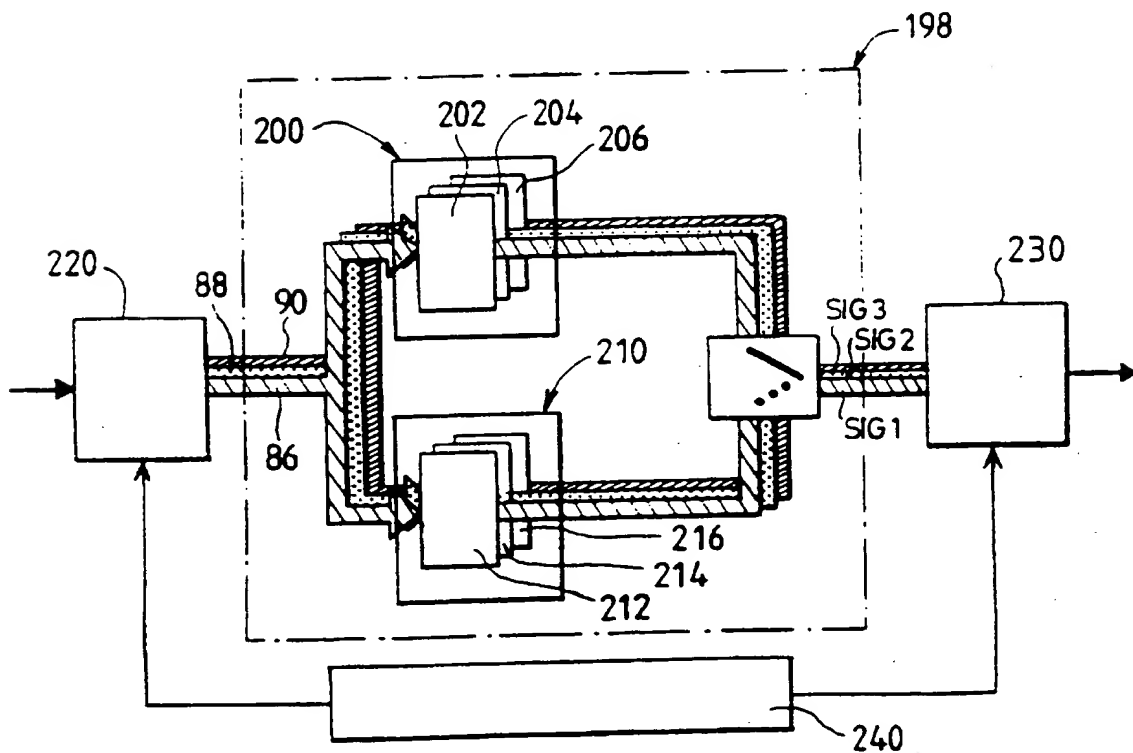


FIG. 11



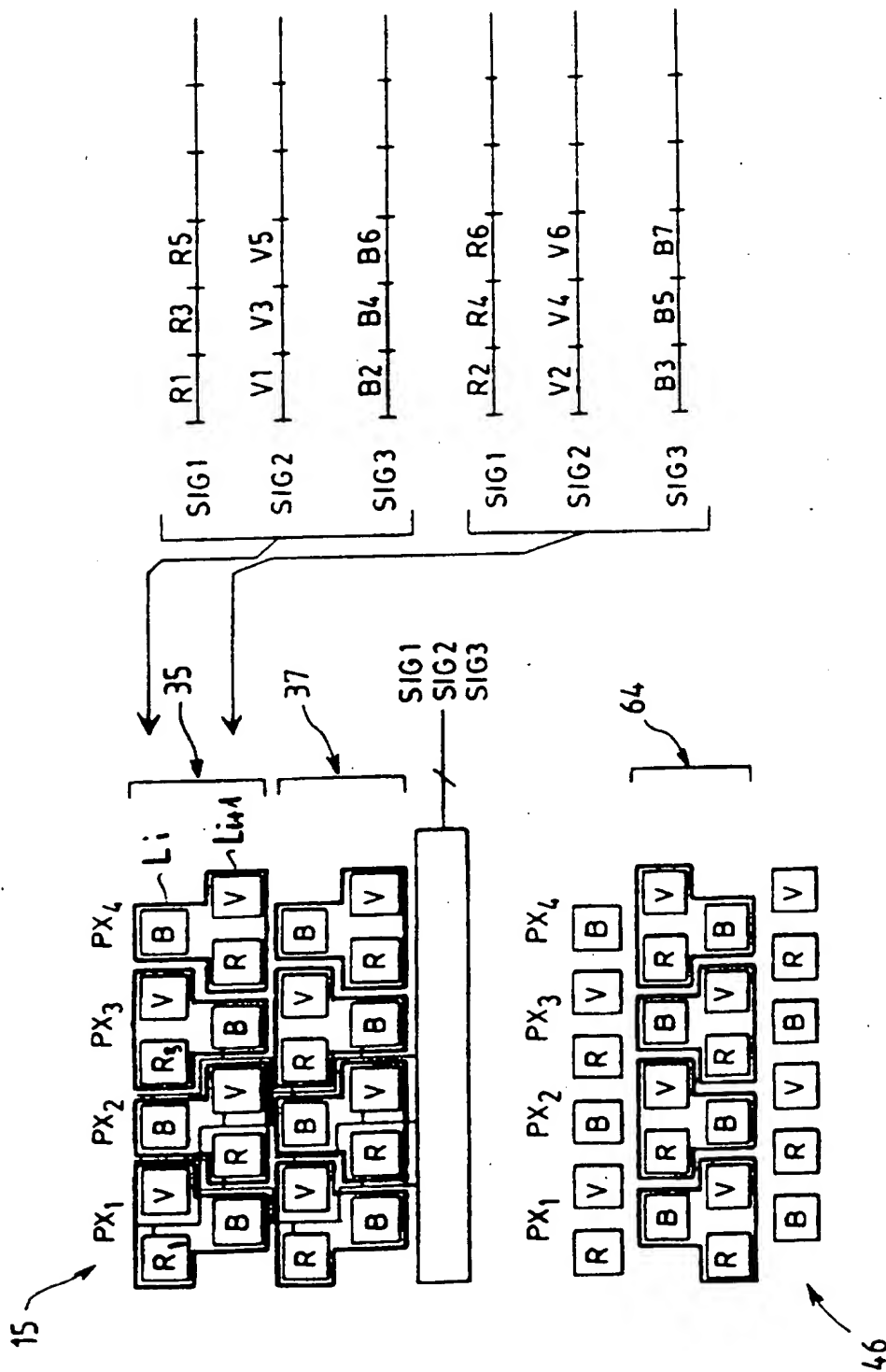


FIG.12

11/14

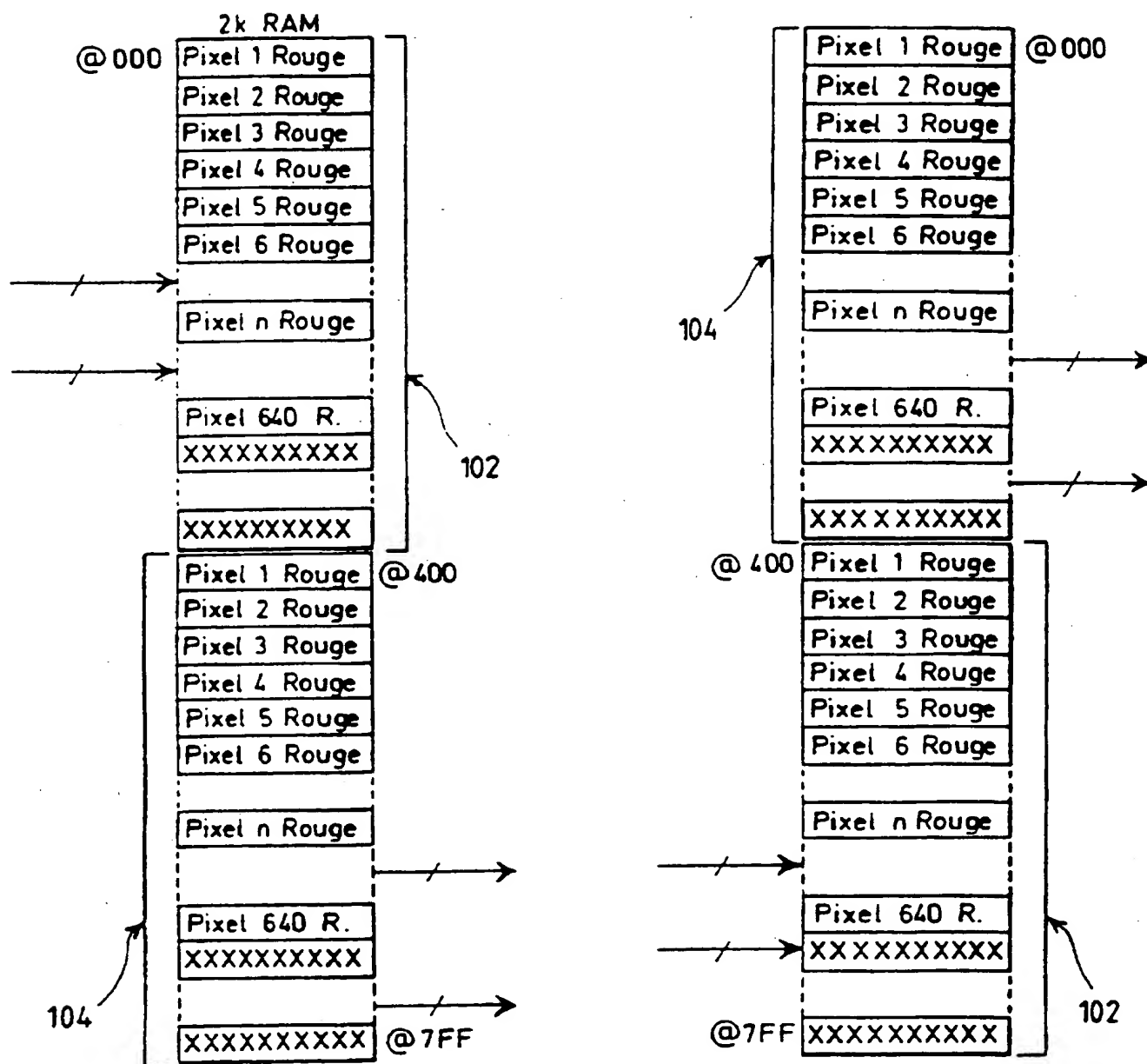


FIG.13



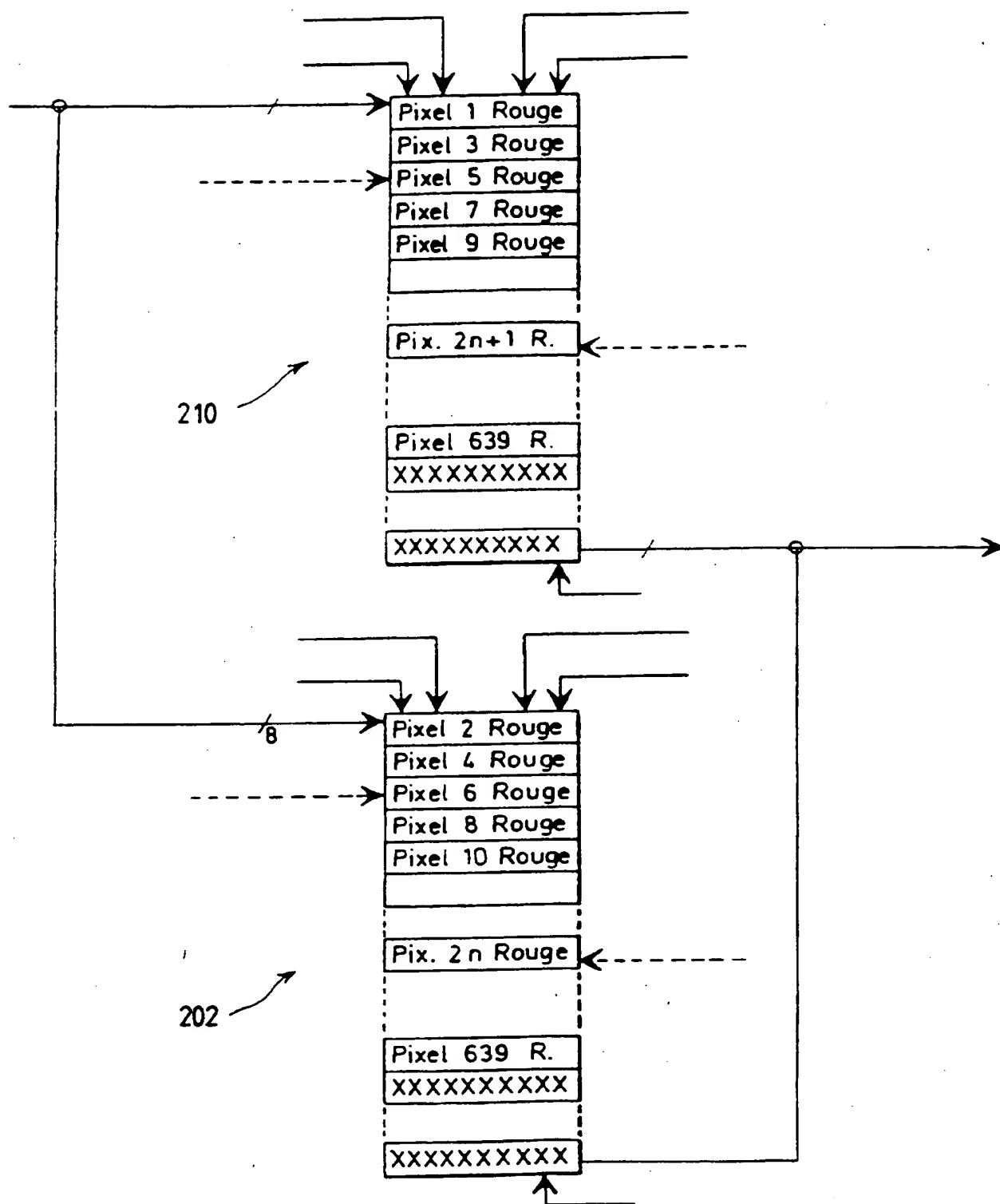


FIG.15

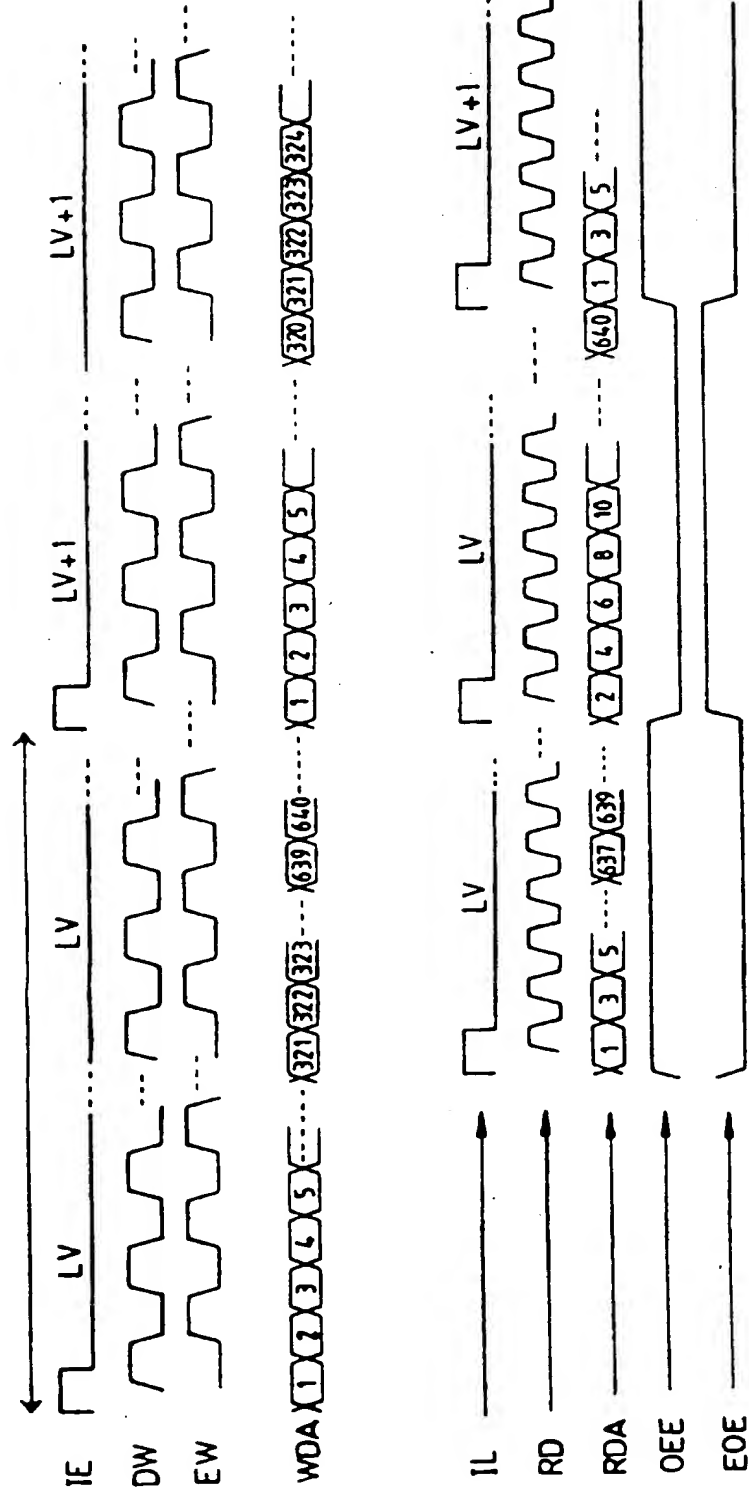


FIG. 16

# INTERNATIONAL SEARCH REPORT

International Application No  
PCT/FR 96/02013

A. CLASSIFICATION OF SUBJECT MATTER  
IPC 6 G09G3/20

According to International Patent Classification (IPC) or to both national classification and IPC

**B. FIELDS SEARCHED**

Minimum documentation searched (classification system followed by classification symbols)

IPC 6 G09G

Documentation searched other than minimum documentation to the extent that such documents are included in the fields searched

Electronic data base consulted during the international search (name of data base and, where practical, search terms used)

**C. DOCUMENTS CONSIDERED TO BE RELEVANT**

Category *	Citation of document, with indication, where appropriate, of the relevant passages	Relevant to claim No.
X	US 4 985 698 A (MANO ET AL.) 15 January 1991	1
A	see abstract see column 2, line 66 - column 4, line 56; figure 1	2-8
A	--- DE 36 34 092 A (DEUTSCHE THOMSON-BRANDT GMBH) 14 April 1988 see abstract see column 1, line 63 - column 2, line 13; figure 1 --- -/--	2-8

☒ Further documents are listed in the continuation of box C.

☒ Patent family members are listed in annex.

\* Special categories of cited documents:

- \*A\* document defining the general state of the art which is not considered to be of particular relevance
- \*E\* earlier document but published on or after the international filing date
- \*L\* document which may throw doubts on priority claim(s) or which is cited to establish the publication date of another citation or other special reason (as specified)
- \*O\* document referring to an oral disclosure, use, exhibition or other means
- \*P\* document published prior to the international filing date but later than the priority date claimed

- \*T\* later document published after the international filing date or priority date and not in conflict with the application but cited to understand the principle or theory underlying the invention
- \*X\* document of particular relevance; the claimed invention cannot be considered novel or cannot be considered to involve an inventive step when the document is taken alone
- \*Y\* document of particular relevance; the claimed invention cannot be considered to involve an inventive step when the document is combined with one or more other such documents, such combination being obvious to a person skilled in the art.
- \*&\* document member of the same patent family

Date of the actual completion of the international search

27 March 1997

Date of mailing of the international search report

14.04.97

Name and mailing address of the ISA

European Patent Office, P.B. 5818 Patentlaan 2  
NL - 2280 HV Rijswijk  
Tel. (+ 31-70) 340-2040, Tx. 31 651 epo nl,  
Fax (+ 31-70) 340-3016

Authorized officer

Corsi, F

# INTERNATIONAL SEARCH REPORT

International Application No.

PCT/FR 96/02013

## C.(Continuation) DOCUMENTS CONSIDERED TO BE RELEVANT

Category *	Citation of document, with indication, where appropriate, of the relevant passages	Relevant to claim No.
A	<p>EP 0 368 572 A (SHARP K.K.) 16 May 1990  see column 27, line 19 - column 31, line 43  see column 19, line 50 - column 21, line 22  see column 10, line 50 - column 15, line 50  see abstract  see column 5, line 11 - column 6, line 14;  figures 2-5,8,11,12</p> <p style="text-align: center;">---</p>	2-8
A	<p>US 5 444 497 A (K.TAKEUCHI) 22 August 1995  see column 12, line 20 - line 37  see abstract  see column 5, line 9 - line 54; figures 2,12</p> <p style="text-align: center;">---</p>	2,5
A	<p>EP 0 428 324 A (DELCO ELECTRONICS CO.) 22 May 1991  see abstract  see column 2, line 39 - column 4, line 30  see column 1, line 25 - column 2, line 48;  figures 1-3</p> <p style="text-align: center;">-----</p>	1-8

# INTERNATIONAL SEARCH REPORT

Information on patent family members

International Application No  
PCT/FR 96/02013

Patent document cited in search report	Publication date	Patent family member(s)	Publication date
US 4985698 A	15-01-91	JP 1113793 A	02-05-89
DE 3634092 A	14-04-88	WO 8802955 A	21-04-88
		EP 0286669 A	19-10-88
		JP 1501099 T	13-04-89
EP 368572 A	16-05-90	JP 2126285 A	15-05-90
		JP 2170784 A	02-07-90
		DE 68923683 D	07-09-95
		DE 68923683 T	15-02-96
		US 5192945 A	09-03-93
US 5444497 A	22-08-95	JP 6332843 A	02-12-94
		US 5585864 A	17-12-96
		US 5546137 A	13-08-96
EP 428324 A	22-05-91	JP 3174581 A	29-07-91



# RAPPORT DE RECHERCHE INTERNATIONALE

De: 'e Internationale No  
PCT/FR 96/02013

A. CLASSEMENT DE L'OBJET DE LA DEMANDE  
CIB 6 G09G3/20

Selon la classification internationale des brevets (CIB) ou à la fois selon la classification nationale et la CIB

B. DOMAINES SUR LESQUELS LA RECHERCHE A PORTE

Documentation minimale consultée (système de classification suivi des symboles de classement)  
CIB 6 G09G

Documentation consultée autre que la documentation minimale dans la mesure où ces documents relèvent des domaines sur lesquels a porté la recherche

Base de données électronique consultée au cours de la recherche internationale (nom de la base de données, et si cela est réalisable, termes de recherche utilisés)

C. DOCUMENTS CONSIDERES COMME PERTINENTS

Catégorie *	Identification des documents cités, avec, le cas échéant, l'indication des passages pertinents	no. des revendications visées
X	US 4 985 698 A (MAND ET AL.) 15 Janvier 1991	1
A	voir Abrégé voir colonne 2, ligne 66 - colonne 4, ligne 56; figure 1	2-8
A	DE 36 34 092 A (DEUTSCHE THOMSON-BRANDT GMBH) 14 Avril 1988 voir Abrégé voir colonne 1, ligne 63 - colonne 2, ligne 13; figure 1	2-8

☒ Voir la suite du cadre C pour la fin de la liste des documents

☒ Les documents de familles de brevets sont indiqués en annexe

\* Catégories spéciales de documents cités:

- \* "A" document définissant l'état général de la technique, non considéré comme particulièrement pertinent
- \* "E" document antérieur, mais publié à la date de dépôt international ou après cette date
- \* "L" document pouvant jeter un doute sur une revendication de priorité ou cité pour déterminer la date de publication d'une autre citation ou pour une raison spéciale (telle qu'indiquée)
- \* "O" document se référant à une divulgation orale, à un usage, à une exposition ou tous autres moyens
- \* "P" document publié avant la date de dépôt international, mais postérieurement à la date de priorité revendiquée

\* "T" document ultérieur publié après la date de dépôt international ou la date de priorité et n'appartenant pas à l'état de la technique pertinent, mais cité pour comprendre le principe ou la théorie constituant la base de l'invention

\* "X" document particulièrement pertinent; l'invention revendiquée ne peut être considérée comme nouvelle ou comme impliquant une activité inventive par rapport au document considéré isolément

\* "Y" document particulièrement pertinent; l'invention revendiquée ne peut être considérée comme impliquant une activité inventive lorsque le document est associé à un ou plusieurs autres documents de même nature, cette combinaison étant évidente pour une personne du métier

\* "&" document qui fait partie de la même famille de brevets

Date à laquelle la recherche internationale a été effectivement achevée

27 Mars 1997

Date d'expédition du présent rapport de recherche internationale

14.04.97

Nom et adresse postale de l'administration chargée de la recherche internationale  
Office Européen des Brevets, P.B. 5818 Patentlaan 2  
NL - 2280 HV Rijswijk  
Tel. (+ 31-70) 340-2040, Tx. 31 651 epo nl,  
Fax (+ 31-70) 340-3016

Fonctionnaire autorisé

Corsi, F

# RAPPORT DE RECHERCHE INTERNATIONALE

Demo internationale No  
PCT/FR 96/02013

C.(suite) DOCUMENTS CONSIDERES COMME PERTINENTS		
Catégorie *	Identification des documents cités, avec, le cas échéant, l'indication des passages pertinents	no. des revendications visées
A	<p>EP 0 368 572 A (SHARP K.K.) 16 Mai 1990 voir colonne 27, ligne 19 - colonne 31, ligne 43 voir colonne 19, ligne 50 - colonne 21, ligne 22 voir colonne 10, ligne 50 - colonne 15, ligne 50 voir Abrégé voir colonne 5, ligne 11 - colonne 6, ligne 14; figures 2-5,8,11,12</p> <p>---</p>	2-8
A	<p>US 5 444 497 A (K.TAKEUCHI) 22 Août 1995 voir colonne 12, ligne 20 - ligne 37 voir Abrégé voir colonne 5, ligne 9 - ligne 54; figures 2,12</p> <p>---</p>	2,5
A	<p>EP 0 428 324 A (DELCO ELECTRONICS CO.) 22 Mai 1991 voir Abrégé voir colonne 2, ligne 39 - colonne 4, ligne 30 voir colonne 1, ligne 25 - colonne 2, ligne 48; figures 1-3</p> <p>-----</p>	1-8

# RAPPORT DE RECHERCHE INTERNATIONALE

Renseignements relatifs aux ...embres de familles de brevets

Dem Internationale No  
PCT/FR 96/02013

Document brevet cité au rapport de recherche	Date de publication	Membre(s) de la famille de brevet(s)	Date de publication
US 4985698 A	15-01-91	JP 1113793 A	02-05-89
DE 3634092 A	14-04-88	WO 8802955 A	21-04-88
		EP 0286669 A	19-10-88
		JP 1501099 T	13-04-89
EP 368572 A	16-05-90	JP 2126285 A	15-05-90
		JP 2170784 A	02-07-90
		DE 68923683 D	07-09-95
		DE 68923683 T	15-02-96
		US 5192945 A	09-03-93
US 5444497 A	22-08-95	JP 6332843 A	02-12-94
		US 5585864 A	17-12-96
		US 5546137 A	13-08-96
EP 428324 A	22-05-91	JP 3174581 A	29-07-91

**This Page Blank (uspto)**